

کمی‌سازی پارامترهای نفوذ آب به خاک با استفاده از مقیاس‌سازی

علیداد کرمی^۱، مهدی همایی^{*۲}، محمد بایبوردی^۳ و محمد محمودیان شوشتاری^۴

چکیده

برای کمی‌سازی و آنالیز تغییرپذیری پارامترهای نفوذ آب به خاک در یک پهنه وسیع، در چهار هزار هکتار از اراضی دشت کوار شیراز و در ۱۶۱ سایت در یک شبکه منظم 500×500 متری، نفوذ آب به خاک با استفاده از استوانه‌های دوگانه اندازه‌گیری شد. داده‌های حاصله به سه مدل نفوذ آب به خاک برآش داده شد. مدل دو پارامتری فیلیپ با بالاترین ضریب تبیین به عنوان بهترین مدل انتخاب شد. سرعت نفوذ پایه با میانگین $6/69$ ، از $1/11$ تا $31/11$ سانتی‌متر بر ساعت متغیر بود. ضریب جذبی و انتقالی مدل فوق تغییرات گسترده‌ای داشت. این دو پارامتر به ترتیب بر اساس عامل مقیاس‌سازی a_S و a_A محاسبه شد و داده‌های نفوذ آب به خاک مقیاس‌بندی شد. مقیاس‌سازی حاصله از a_A بهتر از مقیاس‌سازی a_S بود. سپس فاکتور مقیاس‌سازی بهینه (a_{opt}) با روش حداقل مربعات به دست آمد. فاکتورهای مقیاس‌سازی بر اساس میانگین حسابی، هندسی و هارمونی a_S و a_A ، نیز برای مقیاس‌سازی محاسبه شدند. نتایج نشان داد مقیاس‌بندی داده‌های نفوذ آب به خاک بر اساس فاکتور مقیاس‌سازی a_{opt} و فاکتورهای مقیاس‌سازی حاصل از میانگین هارمونی a_S و a_A بهتر از دیگر فاکتورهای مقیاس‌سازی بودند.

واژه‌های کلیدی: مدل فیلیپ، مدل کوستیاکوف لوییز، مقیاس‌سازی، نفوذ آب به خاک.

ارجاع: کرمی ع، همایی م، بایبوردی م و محمودیان شوشتاری م. ۱۳۹۱. کمی‌سازی پارامترهای نفوذ آب به خاک با استفاده از مقیاس‌سازی. مجله پژوهش آب ایران. ۶(۱): ۶۵-۷۳.

۱- دانشجوی دکتری دانشگاه تربیت مدرس و عضو هیأت علمی مرکز تحقیقات کشاورزی و منابع طبیعی فارس.
۲- استاد گروه خاکشناسی، دانشکده کشاورزی، دانشگاه تربیت مدرس.

۳- استاد گروه خاکشناسی، دانشکده کشاورزی، دانشگاه تربیت مدرس.

۴- استاد گروه عمران، دانشکده مهندسی، دانشگاه شهید چمران اهواز.

* نویسنده مسئول: mhomae@modares.ac.ir

تاریخ پذیرش: ۱۳۹۰/۰۷/۱۳

تاریخ دریافت: ۱۳۸۹/۱۲/۲۴

داشته و داده‌ها هم باید وابستگی مکانی داشته باشند. دایک و کاچانوسکی (۲۰۱۰) نشان دادند که جریان ترجیحی، طی نفوذ آب به خاک در یک خاک لایه‌ای همبستگی مکانی داشته است. شیوه دیگر برای بیان تغییرپذیری، استفاده از روش مقیاس‌سازی ویژگی آب و خاک بر اساس مفهوم محیط‌های متشابه است (شارما و همکاران، ۱۹۸۰؛ تولی و همکاران، ۲۰۰۱). مقیاس‌سازی روشی برای شبیه‌سازی فرآیندهای واقعی در مقیاس‌های مزرعه‌ای است (پک و همکاران، ۱۹۷۷). هر چند پژوهشگران زیادی (کیسلینگ و همکاران، ۱۹۷۷؛ نیلیسین و همکاران، ۱۹۹۸؛ واریک و همکاران، ۱۹۹۸) تغییرپذیری مکانی را بر اساس ویژگی‌های هیدرولیکی پایه ارزیابی کردند، ولی شارما و همکاران (۱۹۸۰) پیشنهاد کردند که ارزیابی تغییرپذیری هیدرولوژیک سطوح اراضی را با پارامترهای توده‌ای^۱ که به آسانی در صحراء قابل اندازه‌گیری و در دسترس باشند، ارزیابی کنند. رسول‌زاده و سپاسخواه (۲۰۰۳) با استفاده از روش آنالیز ابعادی معادله نفوذ آب به خاک مقیاس‌بندی شده‌ای، برای آبیاری جوی و پشت‌های برای شش سری خاک به دست آورده‌اند. صادقی و همکاران (۱۳۷۸) برای پیش‌بینی نیمرخ رطوبت خاک در فاز توزیع مجدد با استفاده از مقیاس‌سازی، مدلی ارایه کردند که مقدار رطوبت خاک در هر عمق و زمان را در طول فاز توزیع مجدد تخمین می‌زنند.

دشت کوار، از دشت‌های عمده کشور برای تولید فرآورده‌های کشاورزی است که بر مدیریت بهینه آن تأکید زیادی می‌شود. بنابراین، شناخت کافی از ویژگی‌های پایه خاک (نفوذ آب به خاک) برای کشاورزی و تولید موفق ضروری است، ولی تاکنون، مطالعه‌ای در این زمینه انجام نشده است. در این پژوهش با برآش برش مدل‌های نفوذ آب به خاک، بهترین مدل نفوذ برای داده‌های اندازه‌گیری شده، تعیین و ارزیابی شد. همچنان تغییر پذیری مکانی فرآیند نفوذ آب به خاک با استفاده از مقیاس‌سازی پارامترها، بهترین مدل برآش داده شده تجزیه و تحلیل شد. نتایج این پژوهش برای برنامه‌ریزی و مدیریت دشت‌های ایران و سایر نقاط مشابه در جهان بسیار مفید خواهد بود.

هدف اصلی و اختصاصی مقیاس‌سازی، یکی کردن یک سری

مقدمه

شناخت فرآیند نفوذ آب به خاک برای طراحی‌های مختلف، افزایش کارآمدی آبیاری، کاهش تلفات آب و مدیریت بهینه جریانات سطحی در آبخیزها ضروری است. شدت نفوذ، بسته به میزان تأمین آب، تعیین کننده مقدار آبی است که به منطقه غیراشباع وارد یا به رواناب تبدیل می‌شود (هیل، ۱۹۹۸).

به دلیل اهمیت فرآیند نفوذ آب به خاک در طول سالیان متتمدی، مدل‌های متعددی برای برآورد نفوذ آب به خاک ارایه شده است. این مدل‌ها به مدل‌های تجربی برای مثال (هلتان، ۱۹۶۱؛ هورتن، ۱۹۴۰ و کوستیاکوف، ۱۹۳۲) و مدل‌هایی که اساس نظری دارند (گرین و آمپ، ۱۹۱۱ و فیلیپ، ۱۹۶۷) تقسیم‌بندی می‌شوند. حل فرآیند نفوذ آب به خاک نیز توسط پارلانگ و همکاران (۱۹۸۵) و هاورکمپ و همکاران (۱۹۹۰) صورت گرفته است. از بین مدل‌های متعدد پیشنهادی تنها تعداد محدودی با موفقیت با داده‌های مزرعه‌ای کاربرد دارد. معیار مهم در انتخاب یک مدل نسبت به مدل‌های دیگر سهولت برآورد پارامترهای آن است.

مشکل اساسی برای مدل‌سازی نفوذ آب به خاک در یک حوضه، چگونگی بیان تغییرپذیری مکانی خاک است. در پژوهش‌های پیشین، بیان شده که تغییرپذیری مکانی اراضی منجر به تغییرپذیری زیاد رفتار نفوذ آب به خاک می‌شود (کیسلینگ و همکاران، ۱۹۷۷؛ واریک، ۱۹۹۸). برای بیان تغییرپذیری مکانی، ویژگی‌های هیدرولیکی در دشت رسوبی با آنالیز واریانس چند متغیره نشان داده شده که تغییرات در جهت عمودی خیلی بیشتر از جهت افقی است (بوتراس و همکاران، ۲۰۰۹). پژوهش‌های فراوان نشان داده که ویژگی‌های هیدرولیکی خاک، حتی در واحدهای نتشهی مشابه نیز به طور قابل ملاحظه‌ای تفاوت دارند (کامیگنا و ویتل، ۱۹۹۳؛ نیلیسین و همکاران، ۱۹۹۸). روش جدیدی که پایه فیزیکی نیز دارد برای مقیاس‌سازی تابع هدایت هیدرولیکی خاک با استفاده از عامل مویینگی مؤثر، ارایه شده است (صادقی و همکاران، ۱۳۸۹). همچنان روش جدیدی برای ایجاد نقشه، ارایه شده که از خواص مقیاس‌سازی برای میان‌یابی داده‌ها استفاده می‌کند (چنگ، ۲۰۰۸).

تغییرپذیری مکانی را با روش‌های متعدد زمین‌آماری نیز می‌توان تخمین زد ولی نیاز به اندازه‌گیری نقاط زیادی

باشد، می‌توان نفوذ تجمعی را به شکل رابطه مقیاس‌بندی شده زیر بیان کرد:

$$\bar{I} = \bar{S}t^{1/2} + \bar{A}t^* \quad (1)$$

که در آن، \bar{S} و \bar{A} مقادیر میانگین هستند. در این حالت مجموع مربعات خطای (SSE) داده‌های اصلی (منحنی میانگین با \bar{S} و \bar{A}) و داده‌های مقیاس‌بندی شده باید مانند هم باشد، که سری فاکتور مقیاس‌سازی بر اساس S و A (یا α_S و α_A) برابر ایجاد می‌کنند.

مواد و روش‌ها

در سال ۱۳۸۹، چهار هزار هکتار از اراضی دشت کوار در جنوب شرقی شیراز، روی نقشه ۱:۵۰۰۰۰ توپوگرافی منطقه، در محیط Arc GIS رقومی‌سازی و به فواصل منظم 500×500 متر شبکه‌بندی شد. آزمایش‌های نفوذ آب به خاک با استفاده از استوانه‌های دوگانه با بار ثابت در گرههای شبکه در ۱۶۱ نقطه انجام شد. برای انجام آزمایش‌های نفوذ از چاه آبیاری منطقه استفاده شد که آن EC ۰/۸۹۸ دسی‌زیمنس بر متر، مجموع نمک‌های محلول آن ۶۴۲ میلی‌گرم در لیتر و pH آن ۷/۲ بود. مقادیر آنیون‌ها و کاتیون‌های شامل بی‌کربنات، کلر، سولفات، کلسیم، منیزیم، سدیم و پتاسیم به ترتیب ۵، ۱/۲۵، ۳/۵، ۵، ۰/۰۵ و ۱/۵۴ میلی‌اکی‌والان در لیتر بود. نسبت جذب سدیم (SAR) آب مورد استفاده نیز ۰/۷۹ بود.

در محل هر گره از شبکه نمونه دست خورده خاک، مرکب از ۷ نمونه فرعی و در عمق‌های ۰-۱۰، ۱۰-۲۰ و ۲۰-۳۰ سانتی‌متری خاک سطحی با حلقه‌های فلزی با حجم ۲۰۶ سانتی‌متر مکعب نمونه دست نخورده تهیه شد. جرم ویژه ظاهری و رطوبت وزنی اولیه خاک در نمونه دست نخورده pH و درصد اندازه ذرات، کربن آلی، درصد اشباع خاک، گل اشباع، قابلیت هدایت الکتریکی در نمونه دست خورده اندازه‌گیری شد. شرح کامل چگونگی اندازه‌گیری این خواص بر پایه دستورالعمل مؤسسه تحقیقات خاک و آب (علی‌احیایی و بهبهانی‌زاده، ۱۳۷۲) انجام شد.

تخمین پارامترهای مدل‌های نفوذ آب به خاک

در این پژوهش، سه مدل نفوذ آب به خاک شامل مدل کوستیاکوف، کوستیاکوف لوییز و مدل فیلیپ به دلیل کاربردی بودن و استفاده فراوان از آن‌ها انتخاب شدند. شدت نفوذ و نفوذ تجمعی برای ۱۶۱ سایت اندازه‌گیری و

روابط تبعیعی به منحنی واحد با استفاده از فاکتور مقیاس‌سازی است که بیان کننده همه سری‌ها باشد. مفهوم مقیاس‌سازی از نظریه تشابه هندسی میکروسکوپی ارایه شده توسط میلر و میلر (۱۹۵۶)، گرفته شده است. بر اساس آنالیز ابعادی، پارامترهای مدل فیلیپ، S و A را می‌توان به صورت زیر مقیاس‌بندی کرد (فیلیپ، ۱۹۶۷).

$$S_j / S_j^{1/2} = S_r / \lambda_r^{1/2} \quad (1)$$

$$A_j / \lambda_j^{1/2} = A_r / \lambda_r^{1/2} \quad (2)$$

که در آن، λ طول ویژگی خاک در سایت داده شده، α_S ز سایت آزمایش و α_A خاک مرجع با ویژگی آب و خاک میانگین است. اگر شرایط محیط متشابه برقرار باشد، λ برای معادله‌های ۱ و ۲ مقادیر یکسان خواهد داشت. علاوه بر آن فاکتور مقیاس‌سازی بدون بعد α را می‌توان به صورت زیر تعریف کرد.

$$\alpha_j = \lambda_j / \lambda_r = \lambda_j / \bar{\lambda} \quad (3)$$

که در آن، $\bar{\lambda}$ ویژگی طولی خاک مرجع با خواص آب و خاک میانگین است، که برای چنین خاکی فاکتور مقیاس‌سازی معادل واحد خواهد بود. با استفاده از معادله‌های ۱ و ۳ برای A و S می‌توان، α_A و α_S برای n تعداد آزمایش نفوذ آب به خاک به صورت زیر محاسبه کرد.

$$\alpha_{Sj} = (S_j / \bar{S})^2 \quad (4)$$

$$\alpha_{Aj} = (A_j / \bar{A})^{1/2} \quad (5)$$

که میانگین ضریب جذبی خاک (\bar{S}) و فاکتور انتقالی (\bar{A}) به ترتیب برابر است با:

$$\bar{S} = \frac{1}{n} \sum_{j=1}^n S_j \quad (6)$$

$$\bar{A} = \frac{1}{n} \sum_{j=1}^n A_j \quad (7)$$

نفوذ آب به خاک اندازه‌گیری شده ($I(t)$) را می‌توان با استفاده از α_A یا α_S بر اساس رابطه زیر مقیاس‌بندی کرد (مچیوال و همکاران، ۲۰۰۶):

$$I^* = \alpha I \quad (8)$$

$$t^* = \alpha^3 t \quad (9)$$

که در آن، I^* و t^* به ترتیب نفوذ تجمعی و زمان مقیاس‌بندی شده است. اگر با استفاده از معادله فیلیپ (معادله ۱۵) تخمین قابل قبولی از نفوذ در هر نقطه در اختیار باشد و چنانچه شرایط محیط متشابه نیز برقرار

D_{SS} ، که مجموع مربعات اختلافات بین نفوذ مقیاس‌بندی شده I^* و نفوذ میانگین (\bar{I}) بر اساس \bar{S} و \bar{A} است، به دست آمد:

$$D_{SS} = \sum_{t^j} (I^*_{t^j} - \bar{I}_{t^j})^2 \quad (17)$$

که کمیت فوق (D_{SS}) حاصل جمع تمام مقادیر t^* در طول دوره انجام آزمایش‌های نفوذ آب به خاک است.

نتایج و بحث

با انجام آزمایش‌های نفوذ آب به خاک در گرههای منظم شبکه 500×500 متری، برای ۱۶۱ ایستگاه، منحنی‌های نفوذ ترسیم و مدل‌های مربوطه همراه با پارامترها و ضریب تبیین آن‌ها تعیین شد. شدت نفوذ پایه از ۱/۱۱ تا ۳۱/۱۱ سانتی‌متر بر ساعت متغیر بود و میانگین آن در کل منطقه مورد مطالعه $6/69$ سانتی‌متر بر ساعت بود. جرم ویژه ظاهری در عمق‌های $0-10$ ، $10-20$ و $20-30$ سانتی‌متری خاک سطحی به ترتیب $1/59$ ، $1/04$ و $1/03$ و درصد وزنی رطوبت نیز $1/1-32$ ، $1/1-32$ و $1/5-31$ و $1/03$ $1/7-33/8$ تغییر داشت. اندازه‌گیری درصد اندازه ذرات خاک نشان داد که رس از $17/2$ تا $62/2$ سیلت از 27 تا $64/8$ و شن از $1/8$ تا $52/2$ درصد متغیر بود. بافت‌های خاک در منطقه مورد مطالعه رسی، رسی سیلتی، لوم رسی، لوم رسی سیلتی، لومی و لوم رسی شنی بود. درصد اشباع خاک با میانگین $45/48$ از $33/54$ تا $55/92$ متغیر بود. pH گل اشباع با میانگین $7/97$ از $7/62$ تا $8/29$ متغیر بود. هدایت الکتریکی با میانگین $0/9$ از $3/0$ تا $11/12$ دسی‌زیمینس بر متر تغییر کرد. ماده آلی نیز با میانگین $0/95$ درصد از $0/42$ تا $3/16$ درصد تغییر داشت. میانگین مقادیر ضریب تبیین (R^2) و محدوده تغییرات پارامترهای مدل‌های مختلف نفوذ در جدول ۱ ارایه شده است. ارقام مندرج در این جدول به روشنی نشان می‌دهد که تغییرات پارامترها بسیار زیاد بوده و بیانگر تغییرات مکانی ویژگی‌های هیدرولیکی خاک در منطقه مورد مطالعه است.

با توجه به جدول ۱، بیشترین مقدار R^2 مربوط به مدل فیلیپ بود و به عنوان بهترین مدل انتخاب شد. همچنین این مدل، به لحاظ تخمین دو ویژگی هیدرولیکی مهم خاک یعنی هدایت هیدرولیکی و ضریب جذبی اهمیت به سزاوی دارد. پس از انتخاب مدل فیلیپ، از آن برای بیان تغییرپذیری مکانی خاک استفاده شد. شکل بی‌بعد مدل

سپس بر این سه مدل برآش داده شد. پارامترهای مدل‌های نفوذ کوستیاکوف و فیلیپ در محیط نرم‌افزار Excel و مدل کوستیاکوف لوییز با نرم‌افزار SPSS تعیین و با استفاده از روش حداقل مربعات بهترین مدل انتخاب شد. این مدل‌ها را می‌توان به صورت زیر بیان کرد: مدل کوستیاکوف (۱۹۳۲) برای نفوذ تجمعی و مشتق آن برای شدت نفوذ به صورت زیر نوشته می‌شود:

$$I_{(t)} = at^b \quad (11)$$

$$i_{(t)} = a.b t^{b-1} \quad (12)$$

که در آن، $I_{(t)}$ نفوذ تجمعی (L)، t زمان تجمعی (T)، a و b پارامترهای مدل کوستیاکوف، $i_{(t)}$ شدت نفوذ ($L T^{-1}$)، در زمان t (T) است.

مدل کوستیاکوف با افزودن ثابتی به آن توسط لوییز تصحیح و به مدل تعديل شده کوستیاکوف یا مدل کوستیاکوف لوییز برای بیان نفوذ تجمعی و شدت نفوذ به صورت زیر نوشته می‌شود:

$$I_{(t)} = at^b + ct \quad (13)$$

$$i_{(t)} = a.b t^{b-1} + c \quad (14)$$

که در آن، $i_{(t)}$ شدت نفوذ پایه ($L T^{-1}$) است. مدل فیلیپ (۱۹۶۷) که اساس نظری نیز دارد برای نفوذ تجمعی و شدت نفوذ به صورت زیر بیان شده است.

$$I_{(t)} = S t^{1/2} + A t \quad (15)$$

$$i_{(t)} = \frac{S t^{-1/2}}{2} + A \quad (16)$$

که در آن، A فاکتور انتقالی ($L T^{-1}$) بوده که به خواص خاک و رطوبت اولیه و اشباع خاک بستگی دارد و S نیز ضریب جذبی خاک ($L T^{-1/2}$) است. در بین مدل‌های نفوذ آب به خاک که اساس فیزیکی دارند، مدل دو پارامتری فیلیپ به دلیل سادگی محاسبات و این که در آن، زمان می‌تواندتابع واضحی از نفوذ باشد بسیار مورد توجه بوده است (اسوارتندربر و یانگز، ۱۹۷۴). در این پژوهش، از ضریب تبیین به عنوان معیار برآش برای قضاوت درباره بهترین مدل برآش داده شده در منطقه مورد مطالعه استفاده شد. حداقل مربعات داده‌های اصلی و مقیاس‌بندی شده برآش داده شده بر معادله ۱۵ به دست آمد و مقادیر SSE متناظر نیز تعیین شد.

فاکتورهای مقیاس‌سازی با بهینه‌سازی آماری نیز محاسبه شد. بدین صورت که با استفاده از رابطه‌های ۸ و ۹، فاکتور مقیاس‌سازی بهینه (α_{opt}) برای هر نفوذ با حداقل کردن

اگر مدل فیلیپ، فرآیند نفوذ آب به خاک در منطقه مورد مطالعه را در حد قابل قبولی توصیف کند، داده‌های نفوذ آب به خاک اندازه‌گیری شده از تمام آزمایش‌های نفوذ باید از منحنی واحد به دست آمده از معادله ۱۸ تبعیت کنند. شکل ۱ نشان دهنده تغییرات نفوذ تجمعی برای ایستگاه‌های مختلف آزمایشی است.

فیلیپ که توسط مچیوال و همکاران (۲۰۰۶) بررسی شده در این پژوهش نیز به صورت زیر به کار گرفته شد.

$$\beta = \tau^{1/2} + \tau \quad (18)$$

که در آن β و τ پارامترهای بی بعد هستند که به صورت زیر تعریف می‌شوند:

$$\beta = AI / S^2 \quad (19)$$

$$\tau = A^2 t / S^2 \quad (20)$$

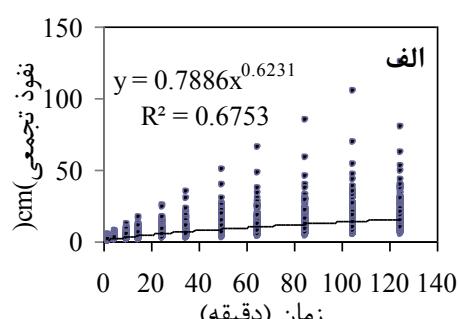
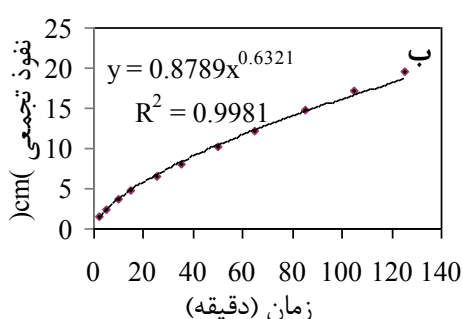
جدول ۱- محدوده پارامترهای مدل‌های مختلف نفوذ

میانگین R^2	محدوده	میانگین	محدوده	پارامترهای مدل	مدل نفوذ
۰/۹۹۸	۰/۹۷۹-۰/۹۹۹	۰/۹۱	۰/۲۸-۰/۷۴	a	کوستیاکوف
		۰/۶۲	۰/۴۵-۰/۷۸۵	B	
		۱/۳۲	۰/۲۸۴-۴/۰۶	a	
۰/۹۹۷	۰/۹۷۵-۰/۹۹۹	۰/۳۲۳	۰/۱۷۴-۳/۰۶	B	کوستیاکوف-لوییز
		۰/۱۱۲	۰/۰۱۹-۰/۵۱۹	C	
		۰/۹۲۳	۰/۲۷۳-۲/۷۵	S	
۰/۹۹۹	۰/۹۸۲-۰/۹۹۹	۰/۰۷۳۹	۰/۰۰۲۳-۰/۴۳۳	A	فیلیپ

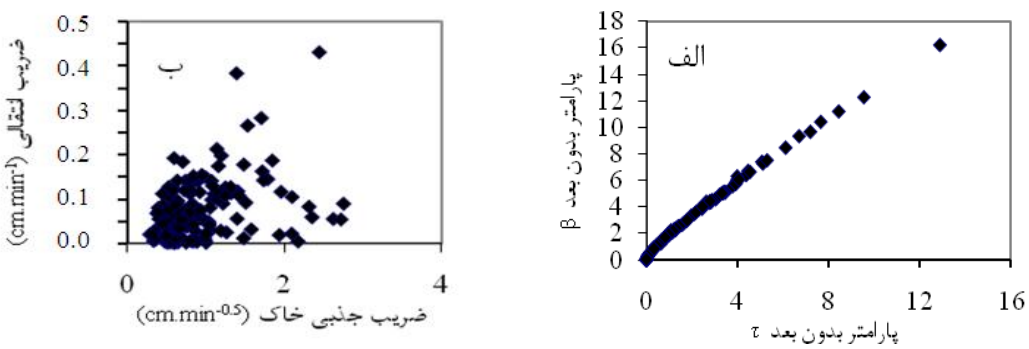
فاکتورهای متعددی شامل منافذ درشت، مقدار رطوبت اولیه خاک، بافت و ساختمان خاک را شامل می‌شوند که بر فرآیند نفوذ آب به خاک تأثیر می‌گذارند (شارما و همکاران، ۱۹۸۰). رابطه پارامترهای S و A که در شکل ۲-۱ ارایه شده است، برای منطقه مورد مطالعه روند مشخصی نداشت. شکل فوق نشان می‌دهد که با افزایش مقدار S، پارامتر A نیز تمايل به افزایش داشته است. این یافته مشابه نتایج شارما و همکاران (۱۹۸۰) و مجیوال و همکاران (۲۰۰۶) است. از طرفی با نتایج گزارش شده توسط تالسما (۱۹۶۹) که رابطه ضعیفی را بین ضریب جذبی خاک و هدایت هیدرولیکی اشباع مشاهده کرده بود نیز مطابقت دارد.

داده‌های نفوذ تجمعی پس از تبدیل به شکل بی بعد، با استفاده از معادله‌های ۱۹ و ۲۰، در شکل ۲-الف ترسیم شد. شکل مزبور نشان می‌دهد که پارامترهای بی بعد β و τ برای تمام ایستگاه‌های آزمایشی نفوذ آب به خاک از منحنی تقریباً صاف واحدی که از معادله ۱۸ به دست منحنی تبعیت می‌کنند. بنابراین می‌توان نتیجه گرفت که مدل فیلیپ، به طور رضایت‌بخشی فرآیند نفوذ آب به خاک در منطقه مورد مطالعه را توصیف می‌کند.

پارامترهای مدل فیلیپ (S و A) خواص توده‌ای نامیده می‌شوند. زیرا اولاً در مزرعه، در حجم خیلی بزرگتری از خاک در مقایسه با نمونه دست نخورده معمول برای خواص هیدرولیکی خاک اندازه‌گیری می‌شوند. ثانیاً



شکل ۱- بهترین برآشن منحنی‌های نفوذ تجمعی کل داده‌ها (الف) و منحنی میانگین برای ۱۶۱ ایستگاه (ب) (منحنی میانگین، نشان دهنده نفوذ تجمعی بر اساس میانگین S و A در کل منطقه است).



شکل ۲-الف) منحنی های نفوذ تجمعی بدون بعد در ۱۶۱ ایستگاه، ب) رابطه بین ضریب جذبی خاک و فاکتور A برای منطقه مورد مطالعه

می کند. این نتیجه، با نتایج به دست آمده توسط شارما و همکاران (۱۹۸۰) و مچیوال و همکاران (۲۰۰۶) مطابقت دارد. مقدار SSE پارامتر α_A خیلی کمتر از α_S و مقیاسسازی نفوذ آب به خاک با α_A بر α_S برتری دارد. میانگین هندسی (α_{SA}^G) و هارمونیک (α_{SA}^H) نیز تاحد زیادی پراکنده‌گی نقاط و مقدار SSE را کاهش داده است. در این بین، بهترین نتیجه با میانگین هارمونیک حاصل شده است. ولی بر عکس، میانگین حسابی مقدار SSE بیشتر از α_S و α_A ایجاد کرده است. با توجه به نتایج متفاوتی که از میانگین‌های مختلف پارامترهای S و A به دست آمده، در کل می‌توان به این نتیجه رسید که به آن‌ها نمی‌توان وزن برابری داد. جدول ۲ نشان می‌دهد که فاکتورهای مقیاسسازی α_S و α_A به طور معنی‌داری متفاوتند که تأیید کننده رابطه ضعیف بین آن دو است (شکل ۴).

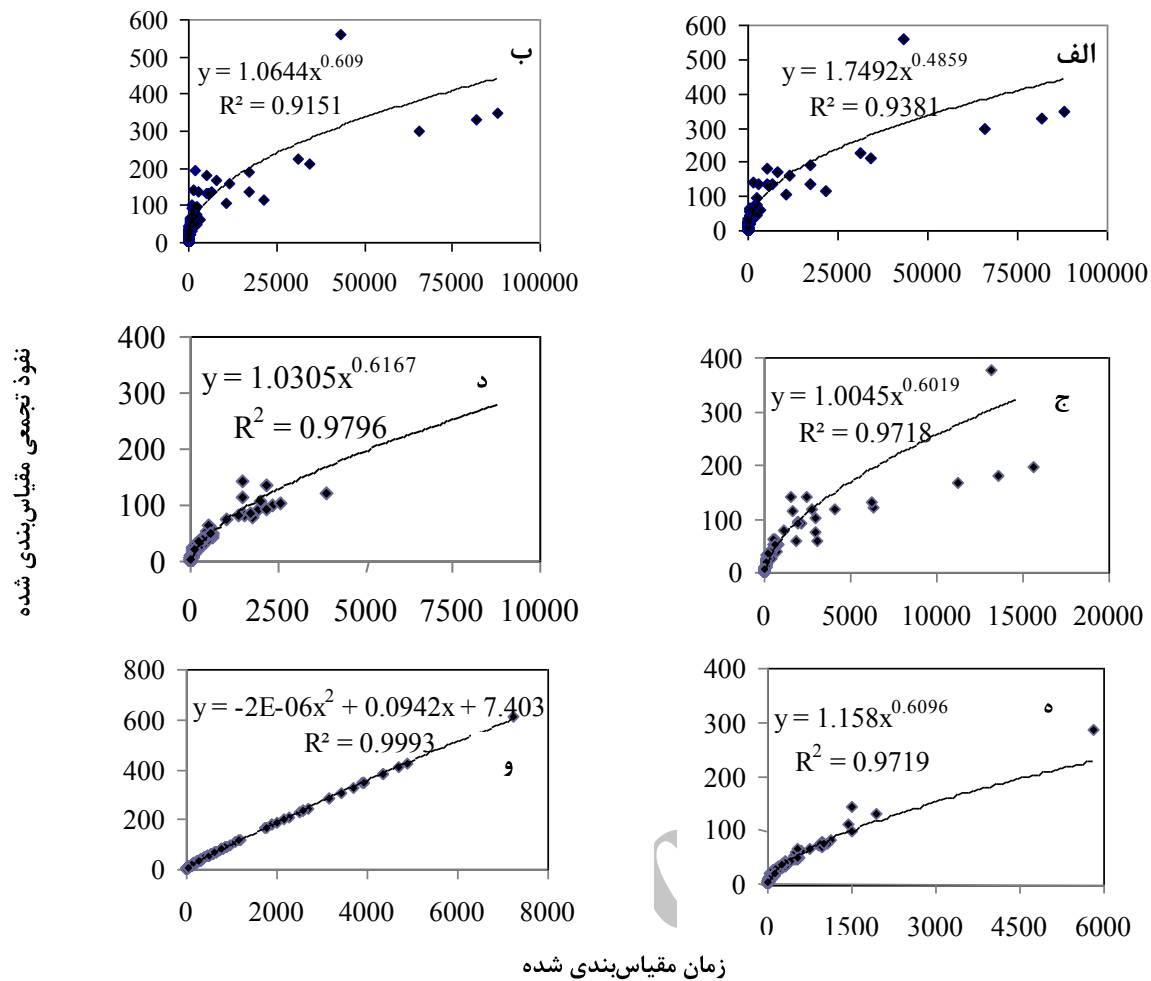
با توجه به مفهوم نظریه محیط مشابه (میلر و میلر، ۱۹۵۶) خاک‌ها در مکان‌های مختلف حوضه باید تخلخل برابر و نسبت توزیع اندازه خلل و فرج مشابه داشته باشند و این شرایط نباید با تغییر زمان و درجه اشباع تغییر کند. ولی شکل ۴ نشان می‌دهد که α_S و α_A به طور معنی‌داری متفاوت بوده و شرایط محیط مشابه در منطقه مورد مطالعه برقرار نبوده است. این اختلافات ممکن است ناشی از تغییرات خلل و فرج و یا توزیع اندازه آن‌ها با اشباع شدن خاک در فرآیند نفوذ آب به خاک ایجاد شده باشد. در این پژوهش، مشاهده شد که α_S از ۰/۱۰۳۹ تا ۸/۸۹۴ و α_A از ۰/۱۷۶۵ تا ۰/۲۴۲ تغییر دارد. پس تغییرات مقیاسسازی با S خیلی بیشتر از تغییرات مقیاسسازی با A است. این در وهله اول ممکن است به خاطر حساسیت زیاد S نسبت به A به رطوبت اولیه خاک باشد.

مقیاس‌بندی پارامترهای bulk مدل با استفاده از سری داده‌های S و A و با کاربرد معادله‌های ۴ و ۵، مقادیر α_S و α_A محاسبه شد. همچنین با استفاده از مقادیر نفوذ آب به خاک اندازه‌گیری شده (I) در زمان t ، بر اساس معادله‌های ۸ و ۹، داده‌ها مقیاس‌بندی شدند. نفوذ تجمعی مقیاس‌بندی شده بر اساس α_S در شکل ۳-الف و بر اساس α_A در شکل ۳-ب ارایه شده است. در نمودارها بهترین برازش منحنی نفوذ آب به خاک مقیاس‌بندی شده بر اساس روش حداقل مربعات ارایه شده است.

مقایسه داده‌های نفوذ آب به خاک اندازه‌گیری شده (شکل ۱) با داده‌های مقیاس‌بندی شده (شکل ۳ نشان دهنده آن است که پراکنده‌گی داده‌ها در اطراف بهترین منحنی برازش داده شده در شکل مقیاس‌بندی شده خیلی کمتر از داده‌های اصلی است. همچنین به وضوح می‌توان دریافت که منحنی میانگین بر اساس \bar{S} و \bar{A} نمی‌تواند میانگین نفوذ آب به خاک را توصیف کند.

بهترین منحنی برازش داده شده بر داده‌های مقیاس‌بندی شده با فاکتورهای مقیاسسازی S ، A ، α_S ، α_A و α_{SA}^G نمایی بود. ضرایب تبیین و معادله‌های مربوطه روی شکل‌ها ارایه شده است. بهترین منحنی برازش داده شده بر داده‌های مقیاس‌بندی شده با فاکتورهای مقیاسسازی α_{opt} ، معادله سه جمله‌ای درجه دو بود که مشخصات آن در شکل ۳-و ارایه شده است.

برای ارزیابی فاکتورهای مقیاسسازی که با روش‌های مختلف محاسبه شده‌اند، مجموع مربعات خطای بهترین منحنی برازش داده شده بر فاکتورها محاسبه و در جدول ۲ ارایه شده است. مقیاسسازی داده‌های نفوذ آب به خاک با α_{opt} به طور قابل ملاحظه‌ای پراکنده‌گی نقاط اطراف بهترین منحنی برازش داده و همچنین مجموع مربعات خطای (SSE) را کاهش داده و بهترین مقیاس‌بندی را ایجاد



شکل ۳- منحنی نفوذ تجمعی مقیاس‌بندی شده در مقابل زمان مقیاس‌بندی شده در ۱۶۱ ایستگاه در منطقه مورد مطالعه با فاکتور مقیاس‌سازی ضریب جذبی (α_S)، ضریب انتقالی (α_A)، میانگین حسابی ($\bar{\alpha}_{SA}^G$)، میانگین هندسی (α_{SA}^H)، میانگین هارمونیک (α_{SA}^H) و فاکتور مقیاس‌سازی بهینه (α_{opt})، به ترتیب در شکل الف تا و، که در آن ها S ضریب جذبی و A ضریب انتقالی مدل فیلیپ است.

جدول ۲- فاکتورهای مقیاس‌سازی محاسبه شده با روش‌های مختلف، مشخصات آماری آن‌ها، همراه با مجموع مربعات خطأ و پارامتر مقیاس‌بندی شده S^* و A^*

پارامترهای مقیاس‌بندی شده نفوذ آب به خاک		SSE	میانگین هندسی	CV	انحراف معیار	میانگین	پارامتر
A^*	S^*						
۰/۰۴۶۳	۱/۶۴۶۲	۱۲۶۹۷۲/۷	۰/۷۹۹	۹/۶۹	۱۲/۶۵۲	۱/۳۰۶	α_S
۰/۰۱۱۳	۱/۵۰۵۹	۱۸۹۲۵/۸۳	۰/۷۹۷	۱۴/۰۵۱	۱۲/۵۸۷	۰/۸۹۶	α_A
۰/۰۷۲	۰/۹۰۸۸	۲۹۸۳۸۴۲۴۶۷۰	۰/۸۸۶	۱۱/۴۴۲	۱۲/۵۹۵	۱/۱۰۱	$\bar{\alpha}_{SA}^G$
۰/۰۸۳۲	۰/۹۸۴۷	۱۲۶۴۶/۳۳	۰/۷۹۶	۱۳/۱۲۱	۱۲/۵۹۲	۰/۹۶	α_{SA}^G
۰/۰۸۸۳	۱/۱۴۰۶	۸۷۶۸/۶۹	۰/۷۱۸	۱۴/۶۶۳	۱۲/۵۹۵	۰/۸۵۹	α_{SA}^H
۰/۰۷۳۹	۰/۹۲۳	۲۰۳۹/۱۱	۱/۲۱۳	۹/۱۱۳	۱۲/۵۶۶	۱/۳۷۹	α_{opt}

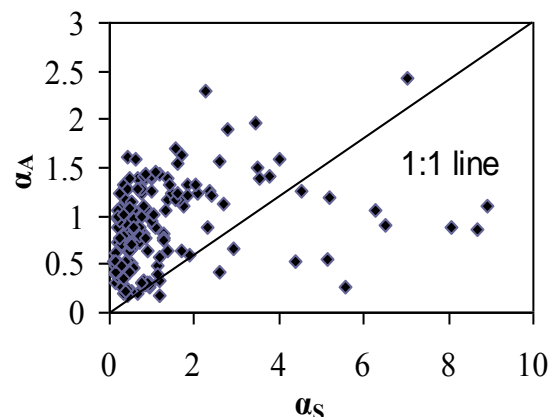
از این پژوهش گرفته می‌شود این که فرآیند نفوذ آب به خاک و ویژگی‌های نفوذ، تغییرپذیری گسترده‌ای را در منطقه مورد مطالعه داشتند و عامل‌های مقیاس‌سازی به کار گرفته شده به نحو مطلوبی توانستند تغییرپذیری پارامترهای مدل فیلیپ را بیان کنند.

سپاس‌گزاری

از سازمان آب منطقه‌ای فارس به دلیل تأمین بخشی از هزینه‌های این پژوهش سپاس‌گزاری می‌شود.

منابع

- صادقی م. قهرمان ب. و داوری ک. ۱۳۸۷. مقیاس‌سازی و پیش‌بینی نیمرخ خاک در فاز توزیع مجدد. نشریه آب و خاک (علوم و صنایع کشاورزی). ۴۱۷(۲):۲۲-۴۳۱.
- صادقی م. گهربوست منفرد م. ر. و قهرمان ب. ۱۳۸۹. مقیاس‌سازی تابع هدایت هیدرولیکی خاک با استفاده از عامل موئینگی مؤثر. مجله آب و خاک (علوم و صنایع کشاورزی). ۱۸۹-۱۹۷(۲۴):۱-۱۹۷.
- علی‌احیایی م. و بهبهانی‌زاده ع. ۱۳۷۲. شرح روش‌های تجزیه شیمیایی خاک. انتشارات موسسه تحقیقات خاک و آب. نشریه شماره ۱۲۹ ۸۹۳ ص.
- Botros F. E. Harter T. Onsoy Y. S. Tuli A. and Hopmans J. W. 2009. Spatial variability of hydraulic properties and sediment characteristics in a deep alluvial unsaturated zone. *Vadose Zone J.* 8 (2):276-289.
- Cheng Q. 2008. Modeling local scaling properties for multiscale mapping. *Vadose Zone J.* 7(2):525-532.
- Comegna V. and Vitale C. 1993. Space-time analysis of water status in a volcanic Vesuvian soil. *Geoderma* 60:135-158.
- Dyck M. F. and Kachanoski R.G. 2010. Spatial Scale-Dependence of Preferred Flow Domains during Infiltration in a Layered Field Soil. *Vadose Zone J.* 9:385-396.
- Green W. H. and Ampt G. A. 1911. Studies of soil physics-art I: the flow of air and water through soils. *J. Agr. Sci.* 4(1):1-24.
- Haverkamp R. Parlange J. Y. Starr J. L. Schmitz G. and Fuentes C. 1990. Infiltration under ponded conditions: 3, a predictive equation. *Soil Sci.* 149:292-300.
- Hillel D. 1998. Environmental Soil Physics. Academic Press, San Diego, CA. 771 pp.
- Holtan H. N. 1961. A concept for infiltration estimates in watershed engineering. USDA-ARS. 41-51.



شکل ۴- رابطه بین فاکتورهای مقیاس‌سازی α_S و α_A در کل منطقه مورد مطالعه

نتیجه‌گیری

در این پژوهش مدل‌سازی فرآیند نفوذ آب به خاک و تغییرپذیری مکانی مدل فیلیپ در دشت کوار انجام شد. داده‌های نفوذ آب به خاک اندازه‌گیری شده، به سه مدل نفوذ آب به خاک برآش داده شد و بهترین مدل تعیین شد. شدت نفوذ پایه در بسیاری از ایستگاهها بسیار کم بود و در کل از ۱/۱۱ تا ۳۱/۱۱ سانتی‌متر بر ساعت تغییر داشت و میانگین آن در کل منطقه مورد مطالعه ۶/۶۹ سانتی‌متر بر ساعت شد. مدل فیلیپ در بیشتر ایستگاهها بهترین مدل بیان کننده فرآیند نفوذ آب به خاک بود. همچنین برتری مدل فیلیپ بر سایر مدل‌ها به دلیل سهولت آن در تخمین هدایت هیدرولیکی خاک و ضریب جذبی خاک است.

رابطه معنی‌داری بین S و A دیده نشد. پارامترهای S و A مدل فیلیپ به α_S و α_A مقیاس‌بندی شدند که در این بین α_A به دلیل مجموع مربعات خطای کمتر از α_S در برآش بهترین منحنی، به عنوان فاکتور مقیاس‌سازی بهتر انتخاب شد. اختلاف معنی‌دار و قابل ملاحظه‌ای بین α_S و α_A دیده شد که نشان دهنده عدم وجود شرایط محیط متشابه در کل منطقه مورد مطالعه است. بنابراین با کم کردن مجموع مربعات خطای فاکتور مقیاس‌سازی بهینه (α_{opt}) برای استفاده در مقیاس‌بندی، بهینه‌سازی شد. پارامترهای مقیاس‌بندی شده مدل در این حالت برای S و A به ترتیب ۰/۹۲۳ و ۰/۰۷۳۹ محاسبه شد. فاکتور مقیاس‌سازی با میانگین حسابی، هندسی و هارمونیک نیز محاسبه شد که در این بین میانگین هارمونیک و هندسی، فاکتور مقیاس‌سازی بهتری را ایجاد کردند. نتیجه کلی که

- optimal analytical solution and comparison with experimental observations. *Soil Sci.* 139:305-311.
19. Peck A.J. Luxmoore R.J. and Stolzy J.L. 1977. Effects of spatial variability of soil hydraulic properties in water budget modelling. *Water Reso. Res.* 13: 348-354.
20. Philip J. R. 1967. Sorption and infiltration in heterogeneous media. *Aust. J. Soil Res.* 5:1-10.
21. Rasoulzadeh A. and Sepaskhah A. R. 2003. Scaled infiltration equations for furrow irrigation. *Bios. Eng.* 86(3):375-383.
22. Sharma M. L. Gander G. A. and Hunt C. G. 1980. Spatial variability of infiltration in a watershed. *J. Hydro.* 45:101-122.
23. Swartzendruber D. and Youngs E. G. 1974. A comparison of physically-based infiltration equations (Note). *Soil Sci.* 117(3): 165-167.
24. Talsma T. 1969. In situ measurement of sorptivity. *Aust. J. Soil Res.* 7:269-276.
25. Tuli A. Kosugi K. and Hopmans J. W. 2001. Simultaneous scaling of soil water retention and unsaturated hydraulic conductivity functions assuming lognormal pore-size distribution. *Advances in Water Reso.* 24:677-688.
26. Warrick A. W. 1998. Spatial variability. In: *Environmental Soil Physics* (Hillel D, ed), pp Academic Press, San Diego, CA. 655-676.
12. Horton R. E. 1940. An approach towards a physical interpretation of infiltration capacity. *Soil Sci. Soc. Amer. Proc.* 5:399-417.
13. Keisling T.C. Davidson J.M. Weeks D.L. and Morrison R.D. 1977. Precision with which selected soil parameters can be estimated. *Soil Sci.* 124(4):241-248.
14. Kostiakov A.N. 1932. On the dynamics of the coefficient of water percolation in soils and on the necessity of studying it from a dynamic point of view for the purposes of amelioration. *Transactions of the Sixth Congress of International Society of Soil Science, Moscow. Russian Part A.* 17-21.
15. Machiwal D. Jha M. K. and Mal B. C. 2006. Modelling infiltration and quantifying spatial soil variability in a wasteland of Kharagpur, India. *Biosystems Eng.* 95(4):569-582.
16. Miller E. E. and Miller R. D. 1956. Physical theory for capillary flow phenomena. *J. Applied Physics.* 27:324-332.
17. Nielsen D. R. Hopmans J. W. and Reichardt K. 1998. An emerging technology for scaling field soil water behavior. In: *Scale Dependence and Scale Invariance in Hydrology* (Sposito G. ed), 136-166. Cambridge University Press, Cambridge.
18. Parlange J. Y. Haverkamp R. and Touma J. 1985. Infiltration under ponded conditions-1: